

МИНИСТЕРСТВО НАУКИ И ВЫСШЕГО ОБРАЗОВАНИЯ  
РОССИЙСКОЙ ФЕДЕРАЦИИ

ПЕНЗЕНСКИЙ ГОСУДАРСТВЕННЫЙ УНИВЕРСИТЕТ

Кафедра «Информационная безопасность систем и технологий»

Отчет  
по лабораторной работе №3  
на тему «Программная реализация операций подстановки и  
перестановки»

Дисциплина: МиСКЗИ

Группа: 21ПИ1

Выполнил: Гусев Д. А.

Количество баллов:

Дата сдачи:

Принял: Липилин О. В.

1 Цель работы: получение навыков по программной реализации основных криптографических преобразований.

2 Задание на лабораторную работу.

2.1 Реализовать операцию подстановки (замены) для 4-х битного вектора. Таблица замены указана в таблице 1. Для проверки выполнить операцию подстановки над 64-х битным вектором  $a = \{00000000100100011010001010110011110001001101010111100110111101111\}$ , (двоичный вектор  $a$  разбивается на 16 частей, над каждой частью выполняется замена).

Таблица 1 — Вариант 8

| № вар | Таблица замены S                                  | Сдвиг p |
|-------|---|---------|
| 8     | 1, 7, E, D, 0, 5, 8, 3, 4, F,<br>A, 6, 9, C, B, 2 | 4       |

2.2 Реализовать подстановку двух смежных 4х битных векторов с использованием эквивалентной таблицы замены  $S^*$  (таблицу  $S^*$  сформировать заранее). Выполнить подстановку над вектором  $a$  (двоичный вектор  $a$  разбивается уже на 8 частей, над каждой частью выполняется замена). Сравнить результаты выполнения п.1 и п. 2. Указать размер таблицы  $S^*$ .

2.3 Реализовать операцию перестановки над 8-ми битным вектором с использованием циклического сдвига вправо на  $p$  бит ( $p$  указано в варианте). Выполнить перестановку над вектором  $a$  (двоичный вектор  $a$  разбивается на 8 частей, над каждой частью выполняется перестановка).

2.4 Реализовать комбинацию операций подстановки и перестановки, (входные данные считываются блоком  $x$  по 8 бит, блок разбивается на 2 двоичных вектора  $x_1$  и  $x_2$  по 4 бита, над каждым вектором выполняется подстановка  $S$ . Результаты подстановки объединяются в блок  $a$  размером 8 бит, который циклически сдвигается вправо на  $p$  бит. Результатом преобразования блока  $x$  является блок  $b$  размером 8 бит).

2.5 Выполнить преобразование файла произвольного формата (размером не менее 1 Кб) с использованием преобразования из п. 4.

2.6 Реализовать комбинацию операций подстановки и перестановки, указанную на рисунке 1 с использованием эквивалентной подстановки  $S'$  (таблицу замены  $S'$  сформировать заранее на основе подстановки  $S^*$  и сдвига).

2.7 Выполнить преобразование файла из п.6 с использованием эквивалентной подстановки. Сравнить результаты. Указать размер таблицы  $S'$

### 3 Выполнение лабораторную работы:

3.1 Была реализована операцию подстановки (замены) для 4-х битного вектора. Таблица замены  $S$  указана в таблице 1. Для проверки была выполнена операция подстановки над 64-х битным вектором  $A = \{0, 1, 2, 3, 4, 5, 6, 7, 8, 9, A, B, C, D, E, F\}$ . Результат преобразований представлен в таблице 2. Код программы представлен в репозитории на github в файле [LB3\\_1\\_Replace-4bit.cpp](#). Результат работы программы представлен на рисунке 1.

Таблица 2 — Результат преобразования 4-х битного вектора (подстановка)

|              |      |      |      |      |      |      |      |      |      |      |      |      |      |      |      |      |
|--------------|------|------|------|------|------|------|------|------|------|------|------|------|------|------|------|------|
| S            | 0x01 | 0x07 | 0x0E | 0x0D | 0x00 | 0x05 | 0x08 | 0x03 | 0x04 | 0x0F | 0x0A | 0x06 | 0x09 | 0x0C | 0x0B | 0x02 |
| A            | 0x00 | 0x01 | 0x02 | 0x03 | 0x04 | 0x05 | 0x06 | 0x07 | 0x08 | 0x09 | 0x0A | 0x0B | 0x0C | 0x0D | 0x0E | 0x0F |
| Replace-4bit | 0x01 | 0x07 | 0x0E | 0x0D | 0x00 | 0x05 | 0x08 | 0x03 | 0x04 | 0x0F | 0x0A | 0x06 | 0x09 | 0x0C | 0x0B | 0x02 |

```

D:\Projects\PGU\6 Семестр\6 X + v
S: 0x01 0x07 0x0E 0x0D 0x00 0x05 0x08 0x03 0x04 0x0F 0x0A 0x06 0x09 0x0C 0x0B 0x02
A: 0x00 0x01 0x02 0x03 0x04 0x05 0x06 0x07 0x08 0x09 0x0A 0x0B 0x0C 0x0D 0x0E 0x0F
R: 0x01 0x07 0x0E 0x0D 0x00 0x05 0x08 0x03 0x04 0x0F 0x0A 0x06 0x09 0x0C 0x0B 0x02
Для продолжения нажмите любую клавишу . . . |

```

Рисунок 1 — Работа программы LB3\_1\_Replace-4bit

3.2 Была реализована подстановка двух смежных 4х битных векторов с использованием эквивалентной таблицы замены  $S^*$  (таблица  $S^*$  представлена в таблице 3). Была выполнена подстановку над вектором  $A = \{1, 23, 45, 67, 89, AB, CD, EF\}$ . Результат преобразований представлен в таблице 4. Код программы

представлен в репозитории на github в файле [LB3\\_2\\_Replace-8bit.cpp](#). Результат работы программы представлен на рисунке 2.

Таблица 3 — Таблица замены S\*

|      |      |      |      |      |      |      |      |      |      |      |      |      |      |      |      |
|------|------|------|------|------|------|------|------|------|------|------|------|------|------|------|------|
| 0x23 | 0xBF | 0xB8 | 0x9E | 0x84 | 0xDB | 0x4D | 0xD2 | 0xE7 | 0x48 | 0x66 | 0x68 | 0xED | 0x87 | 0x37 | 0xC5 |
| 0x04 | 0x5A | 0xC4 | 0x43 | 0x0A | 0x33 | 0x0C | 0x64 | 0xDE | 0xD6 | 0x9F | 0xA1 | 0xCD | 0xE0 | 0x57 | 0x56 |
| 0xD8 | 0x4B | 0x5E | 0xE9 | 0x63 | 0xD1 | 0xDF | 0xFD | 0xB3 | 0xCA | 0xD7 | 0x7D | 0x13 | 0x6B | 0x67 | 0x7C |
| 0x55 | 0x82 | 0xC2 | 0x12 | 0x09 | 0x60 | 0xFB | 0xE1 | 0xFA | 0xDA | 0x93 | 0x2B | 0xC7 | 0x1E | 0xE8 | 0x50 |
| 0xC1 | 0x42 | 0x2E | 0xF0 | 0xB5 | 0xEE | 0x40 | 0xE5 | 0xBE | 0x08 | 0x20 | 0xF7 | 0xCC | 0xBA | 0xE3 | 0x5C |
| 0x81 | 0xF2 | 0xAD | 0xEB | 0x76 | 0x15 | 0x8F | 0x38 | 0xBD | 0x24 | 0x83 | 0x99 | 0xEA | 0x45 | 0x62 | 0x10 |
| 0xF4 | 0xFC | 0x9C | 0xAE | 0x0D | 0x58 | 0xF3 | 0x0B | 0x69 | 0x54 | 0x03 | 0xC9 | 0xCE | 0x6F | 0x0F | 0x73 |
| 0xA7 | 0x19 | 0x77 | 0x8C | 0xB1 | 0x2D | 0x61 | 0xD0 | 0x11 | 0x07 | 0x9B | 0x65 | 0x4F | 0x52 | 0x80 | 0x92 |
| 0xF6 | 0xA9 | 0x25 | 0x5D | 0xB0 | 0xAB | 0xC8 | 0x88 | 0x7A | 0x00 | 0x2A | 0x95 | 0xA5 | 0x36 | 0xC3 | 0x35 |
| 0x85 | 0x02 | 0xAC | 0x28 | 0x6C | 0x79 | 0x74 | 0xEF | 0xB7 | 0x47 | 0x8B | 0x2C | 0xB9 | 0x8E | 0xF9 | 0x5B |
| 0x59 | 0x05 | 0x41 | 0x78 | 0x75 | 0x9A | 0x0E | 0x72 | 0xAF | 0x2F | 0x91 | 0x31 | 0x3A | 0x7E | 0x4C | 0xA0 |
| 0x26 | 0x3B | 0xA4 | 0x6D | 0x30 | 0x71 | 0xDC | 0x86 | 0x7F | 0x3F | 0x5F | 0x1C | 0x8D | 0x53 | 0x4A | 0x3D |
| 0x27 | 0x14 | 0x3C | 0xF1 | 0xC0 | 0x06 | 0x51 | 0x01 | 0x6A | 0xD3 | 0x70 | 0x22 | 0x94 | 0xA6 | 0x6E | 0xBB |
| 0xAA | 0xE6 | 0x44 | 0x32 | 0xF8 | 0xE4 | 0x21 | 0xD9 | 0xCF | 0x29 | 0x96 | 0xFE | 0xD4 | 0x89 | 0xBC | 0x1A |
| 0x8A | 0x16 | 0xA2 | 0xC6 | 0x90 | 0x7B | 0x97 | 0xF5 | 0xEC | 0x17 | 0xFF | 0x49 | 0x4E | 0xB2 | 0x18 | 0x1F |
| 0x34 | 0x1B | 0xB6 | 0xA3 | 0xDD | 0x39 | 0xD5 | 0xB4 | 0x9D | 0x98 | 0x46 | 0xCB | 0x1D | 0xE2 | 0x3E | 0xA8 |

Таблица 4 - Результат преобразования 8-ми битного вектора (подстановка)

|              |      |      |      |      |      |      |      |      |
|--------------|------|------|------|------|------|------|------|------|
| A            | 0x01 | 0x23 | 0x45 | 0x67 | 0x89 | 0xAB | 0xCD | 0xEF |
| Replace-8bit | 0xBF | 0xE9 | 0xEE | 0x0B | 0x00 | 0x31 | 0xA6 | 0x1F |

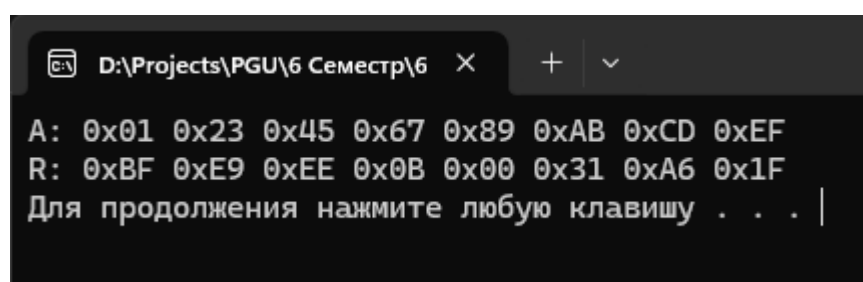


Рисунок 2 — Работа программы LB3\_2\_Replace-8bit

3.3 Была реализована операция перестановки над 8-ми битным вектором с использованием циклического сдвига вправо на 4 бит ( $p = 4$ , согласно варианту 8). Была выполнена перестановка над вектором  $A = \{1, 23, 45, 67, 89, AB, CD, EF\}$ . Результат преобразований представлен в таблице 5. Код программы представлен в репозитории на github в файле [LB3\\_3\\_Shift-8bit.cpp](#). Результат работы программы представлен на рисунке 3.

Таблица 5 - Результат преобразования 8-ми битного вектора (перестановка)

|                      |      |      |      |      |      |      |      |      |
|----------------------|------|------|------|------|------|------|------|------|
| S                    | 0x01 | 0x07 | 0x0E | 0x0D | 0x00 | 0x05 | 0x08 | 0x03 |
|                      | 0x04 | 0x0F | 0x0A | 0x06 | 0x09 | 0x0C | 0x0B | 0x02 |
| A                    | 0x01 | 0x23 | 0x45 | 0x67 | 0x89 | 0xab | 0xcd | 0xef |
| Shift-Replace-2x4bit | 0x71 | 0xde | 0x50 | 0x38 | 0xf4 | 0x6a | 0xc9 | 0x2b |

```

D:\Projects\PGU\6 Семестр\6
A: 0x01 0x23 0x45 0x67 0x89 0xAB 0xCD 0xEF
R: 0x10 0x32 0x54 0x76 0x98 0xBA 0xDC 0xFE
Для продолжения нажмите любую клавишу . . . |

```

Рисунок 3 — Работа программы LB3\_3\_Shift-8bit

3.4 Была реализована комбинация операций подстановки и перестановки, (выполняется подстановка S). Было выполнено преобразование над вектором  $A=\{1, 23, 45, 67, 89, AB, CD, EF\}$ . Результат преобразований представлен в таблице 6. Код программы представлен в репозитории на github в файле [LB3\\_4\\_Shift-Replace-2x4bit.cpp](#). Результат работы программы представлен на рисунке 4.

Таблица 6 — Результат преобразования 8-ми битного вектора (подстановка + перестановка)

|                      |      |      |      |      |      |      |      |      |
|----------------------|------|------|------|------|------|------|------|------|
| A                    | 0x01 | 0x23 | 0x45 | 0x67 | 0x89 | 0xab | 0xcd | 0xef |
| Shift-Replace-2x4bit | 0x71 | 0xde | 0x50 | 0x38 | 0xf4 | 0x6a | 0xc9 | 0x2b |

```

D:\Projects\PGU\6 Семестр\6
S: 0x01 0x07 0x0E 0x0D 0x00 0x05 0x08 0x03 0x04 0x0F 0x0A 0x06 0x09 0x0C 0x0B 0x02
A: 0x01 0x23 0x45 0x67 0x89 0xAB 0xCD 0xEF
R: 0x71 0xDE 0x50 0x38 0xF4 0x6A 0xC9 0x2B
Для продолжения нажмите любую клавишу . . . |

```

Рисунок 4 — Работа программы LB3\_4\_Shift-Replace-2x4bit

3.5 Было выполнено преобразование файла с использованием преобразования из п. 4. Файлы [input.txt](#) и [output.txt](#) представлены в репозитории

на github. Код программы для преобразования файла находится в репозитории на github в файле [LB3\\_5\\_transformation.cpp](#).

3.6 Была реализована комбинация операций подстановки и перестановки с использованием эквивалентной подстановки S' (таблица замены S' была сформирована на основе подстановки S\* и сдвига – Таблица 7). Код программы для преобразования файла находится в репозитории на github в файле [LB3\\_6-7\\_transformation.cpp](#). Результат преобразования находится в репозитории на github в файле [output6-7.txt](#).

Таблица 7 - Таблица замены S'

|      |      |      |      |      |      |      |      |      |      |      |      |      |      |      |      |
|------|------|------|------|------|------|------|------|------|------|------|------|------|------|------|------|
| 0x9E | 0xD3 | 0xF7 | 0x9F | 0x0B | 0xEF | 0xAB | 0x44 | 0x5F | 0xEB | 0x3F | 0x96 | 0x2B | 0x88 | 0x1E | 0x60 |
| 0x48 | 0x38 | 0x0C | 0x0F | 0x66 | 0x21 | 0xDE | 0xD0 | 0xCB | 0x12 | 0xB5 | 0x50 | 0x6A | 0xA8 | 0x83 | 0xF8 |
| 0xFC | 0x7F | 0x26 | 0x71 | 0xEA | 0x6E | 0xA1 | 0x2E | 0xD6 | 0x07 | 0x9D | 0x25 | 0x34 | 0x9C | 0xB0 | 0xF4 |
| 0x51 | 0x52 | 0xC3 | 0x4C | 0x84 | 0x4F | 0xBC | 0x61 | 0x64 | 0x69 | 0x82 | 0xD7 | 0x10 | 0x75 | 0xCE | 0x18 |
| 0x41 | 0xE2 | 0x76 | 0x43 | 0x17 | 0x81 | 0x1C | 0xB7 | 0xA4 | 0x7E | 0x8D | 0x4B | 0x49 | 0xF5 | 0x6C | 0xAE |
| 0x9A | 0x6B | 0xE7 | 0x94 | 0x16 | 0x33 | 0x53 | 0xAF | 0x35 | 0x36 | 0xD5 | 0x74 | 0xFF | 0xEE | 0xC9 | 0x40 |
| 0xDD | 0xD1 | 0x9B | 0xC4 | 0x78 | 0xDB | 0x3A | 0x86 | 0x45 | 0x67 | 0xE9 | 0x3D | 0xE6 | 0x37 | 0x5C | 0xC8 |
| 0x27 | 0x6D | 0x0D | 0x5A | 0xB3 | 0xB6 | 0xCF | 0xAA | 0xA5 | 0x2D | 0xC2 | 0x85 | 0xC5 | 0xDA | 0x6F | 0xCA |
| 0x5D | 0xF2 | 0x1D | 0x54 | 0x62 | 0x13 | 0xA6 | 0xA7 | 0xB9 | 0x32 | 0x7D | 0x97 | 0xA9 | 0xBF | 0x1F | 0x06 |
| 0xBA | 0x8B | 0xA3 | 0x3B | 0xEC | 0x70 | 0x1B | 0xF1 | 0x68 | 0x5E | 0x59 | 0x31 | 0xF3 | 0x3C | 0x89 | 0x99 |
| 0x42 | 0xBD | 0x24 | 0x11 | 0xD2 | 0xB8 | 0x73 | 0x77 | 0x0A | 0xC7 | 0x20 | 0x28 | 0x39 | 0x08 | 0xCC | 0x95 |
| 0xFD | 0xB2 | 0x57 | 0xF6 | 0x55 | 0x91 | 0x4D | 0x8C | 0x29 | 0x05 | 0x01 | 0xDC | 0x63 | 0xBE | 0x02 | 0xE1 |
| 0xDF | 0xA0 | 0x7C | 0xB1 | 0x72 | 0xD4 | 0x2F | 0xFB | 0x30 | 0x23 | 0x7A | 0xE5 | 0xC6 | 0xE0 | 0xF0 | 0xC1 |
| 0x19 | 0x79 | 0x5B | 0x2C | 0xD9 | 0x09 | 0xB4 | 0x92 | 0xBB | 0xAC | 0x47 | 0xE3 | 0x8F | 0x00 | 0xD8 | 0xF9 |
| 0xA2 | 0xC0 | 0x14 | 0x15 | 0x58 | 0x56 | 0xFE | 0x93 | 0xE4 | 0x46 | 0x8A | 0x80 | 0x3E | 0x4A | 0xED | 0x65 |
| 0x90 | 0x1A | 0xCD | 0x87 | 0x98 | 0xAD | 0x4E | 0x03 | 0xE8 | 0x7B | 0x04 | 0x22 | 0x0E | 0x2A | 0x8E | 0xFA |

4 Вывод: были получены навыки по программной реализации основных криптографических преобразований.